

Analyse des systÃmes dynamiques dans \mathbb{R}^2

Automne 2013

S. Mousset

UniversitÃ Claude Bernard Lyon I – France

Table des matières

- 1 Introduction : le modèle proie-prédateurs de Lotka-Volterra
- 2 Les systèmes planaires dans \mathbb{R}^2
- 3 Étude qualitative des systèmes non linéaires dans \mathbb{R}^2
- 4 Exemples classiques
- 5 Pour aller plus loin

Plan détaillé

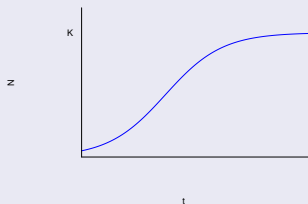
- 1 Introduction : le modèle proie-prédateurs de Lotka-Volterra
 - Les équations du modèle
 - Portrait de phase
 - Définitions

Le modèle des proies-prédateurs de Lotka-Volterra

Dynamique des populations de proies et prédateurs sans interactions

Les proies N

- croissance logistique, paramètres r et K .

Les prédateurs P

- décroissance exponentielle, paramètre μ



Le modèle proie-prédateurs de Lotka-Volterra

Les interactions proie-prédateurs

Si les déplacements de proies et prédateurs se font au hasard, alors le nombre de rencontres entre proies et prédateurs est proportionnel au produit NP .

Les proies N

- Consommation $\tilde{\alpha}$ la vitesse αNP .
- α caractérise l'efficacité des attaques des prédateurs.

Les prédateurs

- Reproduction $\tilde{\beta}$ la vitesse βNP .
- β caractérise le rendement des attaques en termes de reproduction des prédateurs.

Le modèle proie-prédateurs de Lotka-Volterra

Les équations du modèle

On a le système de deux EDO du premier ordre suivant :

$$\begin{cases} \frac{dN}{dt} = rN \left(1 - \frac{N}{K}\right) - \alpha NP \\ \frac{dP}{dt} = -\mu P + \beta NP \end{cases}$$

Dans le plan (N, P) , on peut étudier le signe de $\frac{dN}{dt}$ et $\frac{dP}{dt}$.

Plan de l'atelier

- 1 Introduction : le modèle proie-prédateurs de Lotka-Volterra
 - Les équations du modèle
 - Portrait de phase
 - Définitions

Portrait de phase

Signe de $\frac{dN}{dt}$ L'évolution du nombre de proies dépend du signe de $\frac{dN}{dt}$

$$\begin{aligned} \frac{dN}{dt} > 0 &\iff rN \left(1 - \frac{N}{K}\right) - \alpha NP > 0 \\ &\iff N \left(r - \frac{rN}{K} - \alpha P\right) > 0 \\ &\iff P < \frac{r}{\alpha} \left(1 - \frac{N}{K}\right) \end{aligned}$$

$$\frac{dN}{dt} = 0 \text{ pour } N = 0 \text{ et } P = \frac{r}{\alpha} \left(1 - \frac{N}{K}\right).$$

Portrait de phase

Signe de $\frac{dP}{dt}$

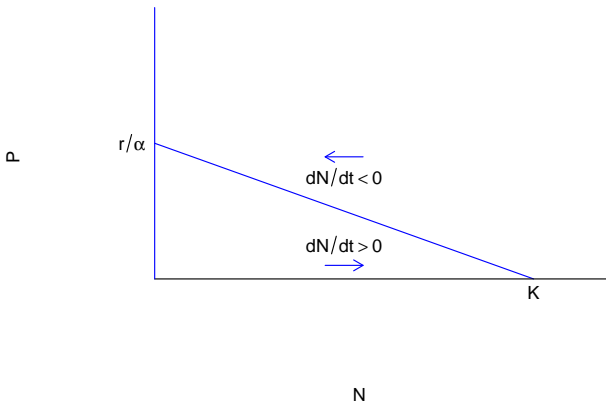
L'évolution du nombre de prédateurs dépend du signe de $\frac{dP}{dt}$

$$\begin{aligned} \frac{dP}{dt} > 0 &\iff -\mu P + \beta NP > 0 \\ &\iff P(\beta N - \mu) > 0 \\ &\iff N > \frac{\mu}{\beta} \end{aligned}$$

$$\frac{dP}{dt} = 0 \text{ pour } P = 0 \text{ et } N = \frac{\mu}{\beta}.$$

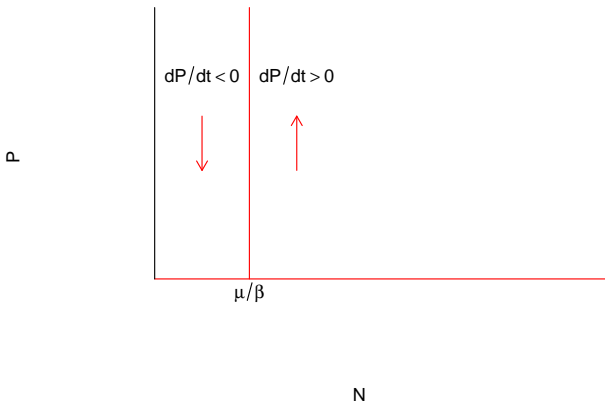
Portrait de phase

Portrait de phase

Signe de $\frac{dN}{dt}$ 

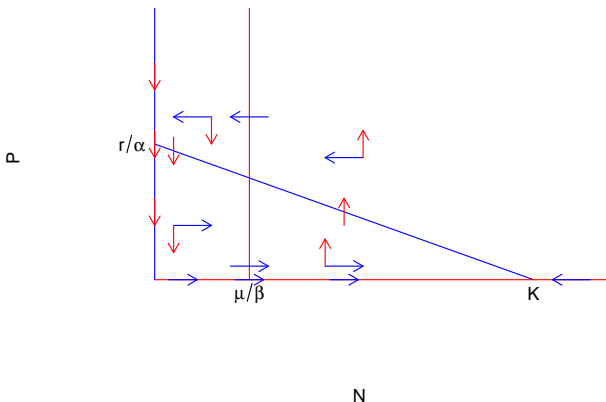
Portrait de phase

Portrait de phase

Signe de $\frac{dP}{dt}$ 

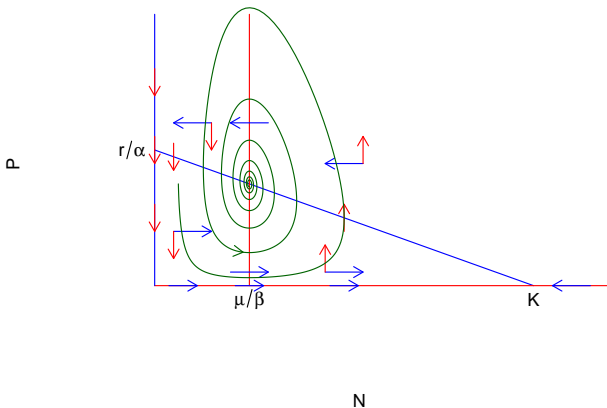
Portrait de phase

Vecteurs vitesse

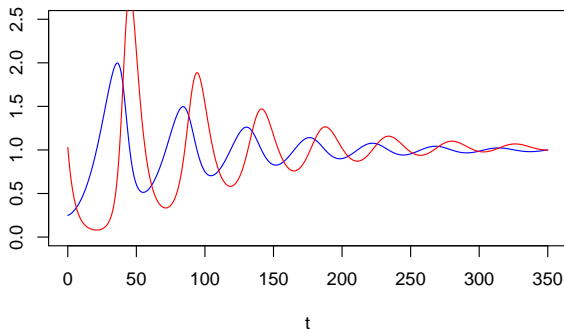


Portrait de phase

Évolution du système



Chroniques



Plan de l'atelier

- 1 Introduction : le modèle proie-prédateurs de Lotka-Volterra
 - Les équations du modèle
 - Portrait de phase
 - Définitions

Définitions

Point d'équilibre

Soit un système dynamique d'EDO tel que

$$\begin{cases} \frac{dx}{dt} = f(x, y) \\ \frac{dy}{dt} = g(x, y) \end{cases}$$

Un point d'équilibre de ce système est un point (x^*, y^*) qui vérifie :

$$\begin{cases} \left. \frac{dx}{dt} \right|_{x=x^*, y=y^*} = f(x^*, y^*) = 0 \\ \left. \frac{dy}{dt} \right|_{x=x^*, y=y^*} = g(x^*, y^*) = 0 \end{cases}$$

Définitions

Isoclines nulles

Soit un système dynamique d'EDO tel que

$$\begin{cases} \frac{dx}{dt} = f(x, y) \\ \frac{dy}{dt} = g(x, y) \end{cases}$$

Les isoclines nulles de ce système sont l'ensemble des points du plan qui vérifient :

$$\frac{dx}{dt} = f(x, y) = 0 \quad \text{ou} \quad \frac{dy}{dt} = g(x, y) = 0$$

Sur le portrait de phase, on parle d'isocline horizontale $\left(\frac{dy}{dt} = 0\right)$

ou verticale $\left(\frac{dx}{dt} = 0\right)$, selon la direction des vecteurs vitesses en ces points.

Table des mati res

- 1 Introduction : le mod le proie-pr dateurs de Lotka-Volterra
- 2 Les syst mes planaires dans \mathbb{R}^2
- 3  tude qualitative des syst mes non lin aires dans \mathbb{R}^2
- 4 Exemples classiques
- 5 Pour aller plus loin

Plan dÃ©taillÃ©

- 2 Les systÃ©mes planaires dans \mathbb{R}^2
 - DÃ©finitions
 - Solutions des systÃ©mes d'EDO linÃ©aires (cas de 2 valeurs propres rÃ©elles)
 - Exponentielles de matrices et formes de Jordan
 - Typologie des systÃ©mes planaires
 - SynthÃ©se

SystÃme planaire

Un systÃme d'EDO tel que

$$\begin{cases} \frac{dx}{dt} = f(x, y) \\ \frac{dy}{dt} = g(x, y) \end{cases}$$

est un systÃme planaire si et seulement si

$$\exists (\alpha, \beta, \gamma, \alpha', \beta', \gamma') \in \mathbb{R}^6 \mid \begin{cases} f(x, y) = \alpha x + \beta y + \gamma \\ g(x, y) = \alpha' x + \beta' y + \gamma' \end{cases}$$

SystÃ¨me planaire

PropriÃ©tÃ©s

Si (x^*, y^*) est un point d'Ã©quilibre d'un systÃ¨me planaire, on effectue le changement de variable $x = x^* + u \iff u = x - x^*$ et $y = y^* + v \iff v = y - y^*$

$$\begin{cases} \frac{du}{dt} = \frac{dx}{dt} = f(x^* + u, y^* + v) \\ \frac{dv}{dt} = \frac{dy}{dt} = g(x^* + u, y^* + v) \end{cases}$$

Soit

$$\begin{cases} \frac{du}{dt} = \alpha u + \beta v \\ \frac{dv}{dt} = \alpha' u + \beta' v \end{cases}$$

Système planaire

Propriétés

Pour tout système planaire, il existe un système planaire équivalent s'écrivant $a_{11}, a_{12}, a_{21}, a_{22}$

$$\begin{cases} \frac{du}{dt} = a_{11}u + a_{12}v \\ \frac{dv}{dt} = a_{21}u + a_{22}v \end{cases}$$

Pour l'étude des systèmes non planaires, nous utiliserons un développement de Taylor du premier degré pour nous placer dans un système planaire équivalent au voisinage des points d'équilibre.

Système planaire

Ecriture matricielle

Soit un système planaire du type

$$\begin{cases} \frac{du}{dt} = a_{11}u + a_{12}v \\ \frac{dv}{dt} = a_{21}u + a_{22}v \end{cases}$$

Ce système est équivalent à l'écriture matricielle

$\dot{\mathbf{X}} = \mathbf{M}\mathbf{X}$ avec

$$\mathbf{M} = \begin{pmatrix} a_{11} & a_{12} \\ a_{21} & a_{22} \end{pmatrix} \quad \text{et} \quad \mathbf{X} = \begin{pmatrix} u \\ v \end{pmatrix}$$

SystÃme planaire

Ecriture matricielle

Soit un systÃme planaire du type

$$\begin{cases} \frac{du}{dt} = a_{11}u + a_{12}v \\ \frac{dv}{dt} = a_{21}u + a_{22}v \end{cases}$$

La matrice $\mathbf{M} = \begin{pmatrix} a_{11} & a_{12} \\ a_{21} & a_{22} \end{pmatrix}$ est appelÃ©e "matrice Jacobienne" du systÃme.

Plan d'Ã©tude

- 2 Les systÃmes planaires dans \mathbb{R}^2
 - DÃ©finitions
 - Solutions des systÃmes d'EDO linÃ©aires (cas de 2 valeurs propres rÃ©elles)
 - Exponentielles de matrices et formes de Jordan
 - Typologie des systÃmes planaires
 - SynthÃse

Ãquation caractÃristique

Soit un systÃme planaire du type admettant la matrice Jacobienne

$$\mathbf{M} = \begin{pmatrix} a_{11} & a_{12} \\ a_{21} & a_{22} \end{pmatrix}$$

Les valeurs propres de \mathbf{M} sont les solutions de l'Ãquation caractÃristique

$$\det(\mathbf{M} - \lambda\mathbf{I}) = 0 \Leftrightarrow \begin{vmatrix} a_{11} - \lambda & a_{12} \\ a_{21} & a_{22} - \lambda \end{vmatrix} = 0$$

$$\Leftrightarrow (a_{11} - \lambda)(a_{22} - \lambda) - a_{12}a_{21} = 0$$

$$\Leftrightarrow \lambda^2 - (a_{11} + a_{22})\lambda + (a_{11}a_{22} - a_{12}a_{21}) = 0$$

$$\Leftrightarrow \lambda^2 - \lambda \operatorname{tr}(\mathbf{M}) + \det(\mathbf{M}) = 0$$

Équation caractéristique

Soit un système planaire du type admettant la matrice Jacobienne

$$\mathbf{M} = \begin{pmatrix} a_{11} & a_{12} \\ a_{21} & a_{22} \end{pmatrix}$$

La nature des solutions dépend du discriminant de l'équation caractéristique $\lambda^2 - \lambda \operatorname{tr}(\mathbf{M}) + \det(\mathbf{M}) = 0$

$$\Delta = \operatorname{tr}(\mathbf{M})^2 - 4 \det(\mathbf{M})$$

On est donné une matrice de passage constituée par les vecteurs propres de M associée à λ_1 et λ_2 .

$$P = \begin{pmatrix} p_{11} & p_{21} \\ p_{12} & p_{22} \end{pmatrix}$$

M admet deux valeurs propres réelles

$$\lambda_1 = \frac{\text{tr}(M) + \sqrt{\Delta}}{2} \quad \lambda_2 = \frac{\text{tr}(M) - \sqrt{\Delta}}{2}$$

On effectue un changement de bases pour se placer dans une base où M est diagonale $D = \begin{pmatrix} \lambda_1 & 0 \\ 0 & \lambda_2 \end{pmatrix} = P^{-1}MP$

$$\Delta > 0$$

Alors, on pose

$$\begin{pmatrix} u \\ v \end{pmatrix} = \mathbf{P} \begin{pmatrix} w \\ z \end{pmatrix} \Leftrightarrow \mathbf{P}^{-1} \begin{pmatrix} u \\ v \end{pmatrix} = \begin{pmatrix} w \\ z \end{pmatrix}$$

On a alors

$$\begin{pmatrix} \dot{u} \\ \dot{v} \end{pmatrix} = \mathbf{P}^{-1} \begin{pmatrix} \dot{u} \\ \dot{v} \end{pmatrix} = \mathbf{P}^{-1} \mathbf{M} \begin{pmatrix} u \\ v \end{pmatrix} = \mathbf{P}^{-1} \mathbf{M} \mathbf{P} \begin{pmatrix} w \\ z \end{pmatrix} = \mathbf{D} \begin{pmatrix} w \\ z \end{pmatrix}$$

soit

$$\begin{pmatrix} u(t) \\ v(t) \end{pmatrix} = K_1 \begin{pmatrix} p_{11} \\ p_{12} \end{pmatrix} e^{\lambda_1 t} + K_2 \begin{pmatrix} p_{21} \\ p_{22} \end{pmatrix} e^{\lambda_2 t}$$

On a alors

$$\begin{cases} \dot{w} = \lambda_1 w \\ \dot{z} = \lambda_2 z \end{cases} \Leftrightarrow \begin{cases} w(t) = K_1 e^{\lambda_1 t} \\ z(t) = K_2 e^{\lambda_2 t} \end{cases}$$

$$\text{d'où } \begin{pmatrix} u \\ v \end{pmatrix} = \mathbf{P} \begin{pmatrix} w \\ z \end{pmatrix} = \begin{pmatrix} p_{11} & p_{21} \\ p_{12} & p_{22} \end{pmatrix} \begin{pmatrix} w \\ z \end{pmatrix}$$

Plan d'Ã©tude

- 2 Les systÃ©mes planaires dans \mathbb{R}^2
 - DÃ©finitions
 - Solutions des systÃ©mes d'EDO linÃ©aires (cas de 2 valeurs propres rÃ©elles)
 - Exponentielles de matrices et formes de Jordan
 - Typologie des systÃ©mes planaires
 - SynthÃ©se

Solutions de $\dot{\mathbf{X}} = \mathbf{M}\mathbf{X}$

Soit un système planaire du type $\dot{\mathbf{X}} = \mathbf{M}\mathbf{X}$, les solutions du système sont du type :

$$\mathbf{X}(t) = e^{\mathbf{M}t} \mathbf{X}_0$$

$e^{\mathbf{M}}$ est l'exponentielle de la matrice \mathbf{M} définie par :

$$e^{\mathbf{M}} = \sum_{k=0}^{\infty} \frac{\mathbf{M}^k}{k!},$$

$e^{\mathbf{M}0} = \mathbf{I}$ (la matrice identité) et \mathbf{X}_0 est imposé par les conditions initiales du système.

Propriétés des exponentielles de Matrices

- 1 Si \mathbf{A} et \mathbf{B} commutent ($\mathbf{AB} = \mathbf{BA}$), alors $e^{\mathbf{A}+\mathbf{B}} = e^{\mathbf{A}}e^{\mathbf{B}}$.
- 2 Si $\mathbf{B} = -\mathbf{A}$, alors $e^{\mathbf{A}+\mathbf{B}} = e^{\mathbf{0}} = \mathbf{I}$, d'où $e^{\mathbf{A}}e^{-\mathbf{A}} = (e^{\mathbf{A}})^{-1}$.
- 3 Si \mathbf{B} est semblable à \mathbf{A} ($\mathbf{B} = \mathbf{P}^{-1}\mathbf{A}\mathbf{P}$), alors $e^{\mathbf{B}} = \mathbf{P}^{-1}e^{\mathbf{A}}\mathbf{P}$.
- 4 Si $\mathbf{B} = \mathbf{A}t$, alors $\frac{d}{dt}e^{\mathbf{A}t} = \mathbf{A}e^{\mathbf{A}t} = e^{\mathbf{A}t}\mathbf{A}$.

Formes de Jordan dans \mathbb{R}^2

Proposition

Soit \mathbf{A} une matrice réelle carrée de dimension 2, alors il existe une matrice réelle inversible \mathbf{P} telle que $\mathbf{J} = \mathbf{P}^{-1}\mathbf{A}\mathbf{P}$ est de l'une des formes suivantes :

$$\mathbf{J} = \begin{pmatrix} \lambda_1 & 0 \\ 0 & \lambda_2 \end{pmatrix} \quad \mathbf{J} = \begin{pmatrix} \lambda_0 & 0 \\ 0 & \lambda_0 \end{pmatrix}$$

$$\mathbf{J} = \begin{pmatrix} \lambda_0 & 1 \\ 0 & \lambda_0 \end{pmatrix} \quad \mathbf{J} = \begin{pmatrix} \alpha & -\beta \\ \beta & \alpha \end{pmatrix}$$

\mathbf{J} est la "forme de Jordan" réelle associée à \mathbf{A} .

Formes de Jordan dans \mathbb{R}^2

$$\mathbf{J} = \begin{pmatrix} \lambda_1 & 0 \\ 0 & \lambda_2 \end{pmatrix} \Rightarrow e^{\mathbf{J}t} = \begin{pmatrix} e^{\lambda_1 t} & 0 \\ 0 & e^{\lambda_2 t} \end{pmatrix}$$

$$\mathbf{J} = \begin{pmatrix} \lambda_0 & 0 \\ 0 & \lambda_0 \end{pmatrix} \Rightarrow e^{\mathbf{J}t} = \begin{pmatrix} e^{\lambda_0 t} & 0 \\ 0 & e^{\lambda_0 t} \end{pmatrix} = e^{\lambda_0 t} \mathbf{I}_2$$

$$\mathbf{J} = \begin{pmatrix} \lambda_0 & 1 \\ 0 & \lambda_0 \end{pmatrix} \Rightarrow e^{\mathbf{J}t} = \begin{pmatrix} e^{\lambda_0 t} & te^{\lambda_0 t} \\ 0 & e^{\lambda_0 t} \end{pmatrix} = e^{\lambda_0 t} \begin{pmatrix} 1 & t \\ 0 & 1 \end{pmatrix}$$

$$\mathbf{J} = \begin{pmatrix} \alpha & -\beta \\ \beta & \alpha \end{pmatrix} \Rightarrow e^{\mathbf{J}t} = e^{\alpha t} \begin{pmatrix} \cos(\beta t) & -\sin(\beta t) \\ \sin(\beta t) & \cos(\beta t) \end{pmatrix}$$

Plan d'Ã©tude

- 2 Les systÃ©mes planaires dans \mathbb{R}^2
 - DÃ©finitions
 - Solutions des systÃ©mes d'EDO linÃ©aires (cas de 2 valeurs propres rÃ©elles)
 - Exponentielles de matrices et formes de Jordan
 - Typologie des systÃ©mes planaires
 - SynthÃ©se

Forme de Jordan associÃe Ã la Jacobienne

Soit un systÃme planaire du type

$$\begin{cases} \frac{du}{dt} = a_{11}u + a_{12}v \\ \frac{dv}{dt} = a_{21}u + a_{22}v \end{cases}$$

Il existe une forme de Jordan réelle \mathbf{J} associÃe Ã la matrice Jacobienne du systÃme $\mathbf{M} = \begin{pmatrix} a_{11} & a_{12} \\ a_{21} & a_{22} \end{pmatrix}$.

\mathbf{J} et \mathbf{M} sont semblables donc \mathbf{J} et \mathbf{M} ont les mÃmes valeurs propres.

Forme de Jordan associée à la Jacobienne

Valeurs propres de la Jacobienne

Les valeurs propres de $\mathbf{M} = \begin{pmatrix} a_{11} & a_{12} \\ a_{21} & a_{22} \end{pmatrix}$ sont les solutions de $\det(\mathbf{M} - \lambda\mathbf{I}) = 0$.

$$\begin{aligned} \det(\mathbf{M} - \lambda\mathbf{I}) &= 0 \\ \iff \begin{vmatrix} a_{11} - \lambda & a_{12} \\ a_{21} & a_{22} - \lambda \end{vmatrix} &= 0 \\ \iff (a_{11} - \lambda)(a_{22} - \lambda) - a_{12}a_{21} &= 0 \\ \iff \lambda^2 - \lambda(a_{11} + a_{22}) + a_{11}a_{22} - a_{12}a_{21} &= 0 \\ \iff \lambda^2 - \operatorname{tr}(\mathbf{M})\lambda + \det(\mathbf{M}) &= 0 \end{aligned}$$

Forme de Jordan associée à la Jacobienne

Équation caractéristique de la Jacobienne

Les valeurs propres de \mathbf{M} sont les solutions de l'équation caractéristique

$$\lambda^2 - \text{tr}(\mathbf{M})\lambda + \det(\mathbf{M}) = 0.$$

On distingue plusieurs cas selon le signe de

$$\Delta = (\text{tr}(\mathbf{M}))^2 - 4\det(\mathbf{M}).$$

Typologie des systÃmes planaires

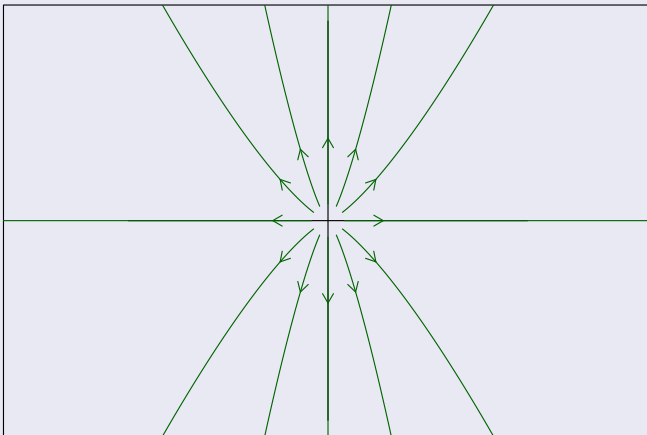
$\Delta > 0$, M a 2 valeurs propres rÃ©elles distinctes

- On note λ_1 et λ_2 les valeurs propres de M .
- Des vecteurs propres associÃ©s sont $\mathbf{u}_1 = \begin{pmatrix} u_{11} \\ u_{12} \end{pmatrix}$ et
 $\mathbf{u}_2 = \begin{pmatrix} u_{21} \\ u_{22} \end{pmatrix}$.
- La matrice de passage est $\mathbf{P} = \begin{pmatrix} u_{11} & u_{21} \\ u_{12} & u_{22} \end{pmatrix}$
- $\mathbf{P}^{-1}\mathbf{M}\mathbf{P} = \mathbf{J} = \begin{pmatrix} \lambda_1 & 0 \\ 0 & \lambda_2 \end{pmatrix}$

Typologie des syst \tilde{A} mes planaires

2 valeurs propres $r\tilde{A}$ elles distinctes positives

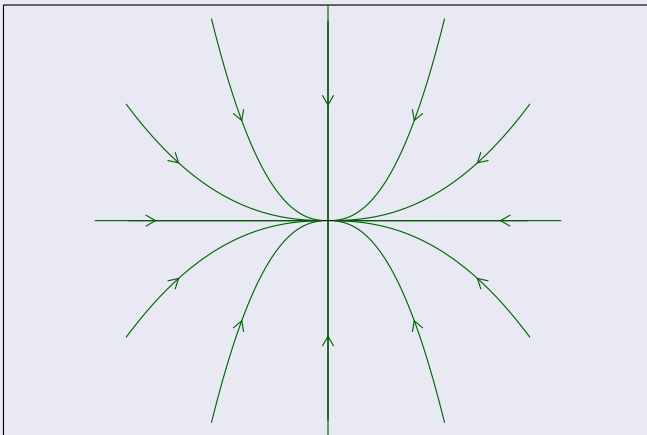
$\lambda_1 > 0$ et $\lambda_2 > 0$ Noeud instable



Typologie des syst \tilde{A} mes planaires

2 valeurs propres $r\tilde{A}$ elles distinctes $n\tilde{A}$ gatives

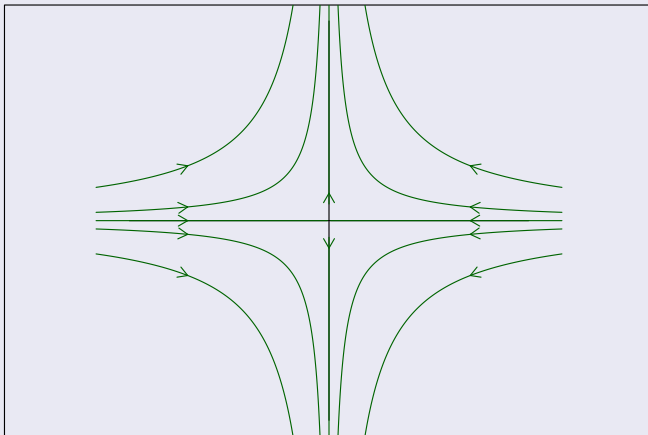
$\lambda_1 < 0$ et $\lambda_2 < 0$ Noeud stable



Typologie des syst \tilde{A} mes planaires

2 valeurs propres $r\tilde{A}$ elles de signes oppos \tilde{A} s

$\lambda_1 < 0$ et $\lambda_2 > 0$ ou $\lambda_1 > 0$ et $\lambda_2 < 0$ Point selle



Typologie des systÃ©mes planaires

$\Delta = 0$, M a 1 valeur propre double réelle

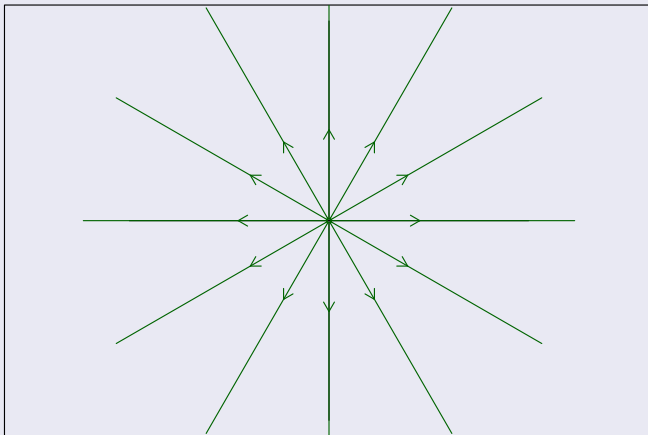
On distingue deux cas possibles :

- 1 M est diagonalisable, $M = \begin{pmatrix} \lambda_0 & 0 \\ 0 & \lambda_0 \end{pmatrix}$, alors M est diagonalisable sous sa forme de Jordan $J = \begin{pmatrix} \lambda_0 & 0 \\ 0 & \lambda_0 \end{pmatrix}$
- 2 M n'est pas diagonalisable.

Typologie des syst \tilde{A} mes planaires

1 valeur propre $r\tilde{A}$ elle double et M est diagonale

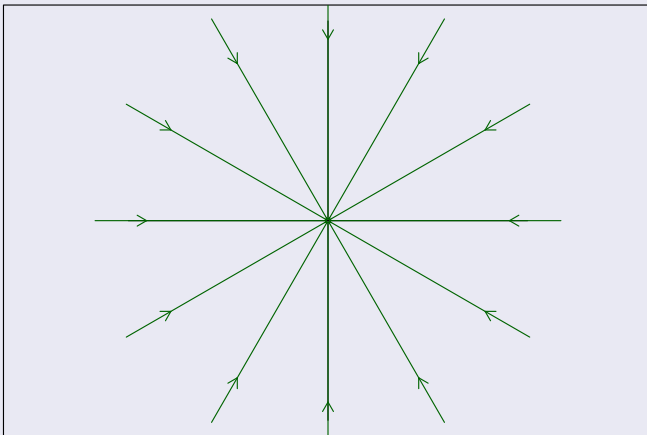
$\lambda_0 > 0$ Étoile instable



Typologie des syst \tilde{A} mes planaires

1 valeur propre $r\tilde{A}$ elle double et M est diagonale

$\lambda_0 < 0$ Étoile stable



Typologie des syst \tilde{A} mes planaires

$\Delta = 0$, M a 1 valeur propre double réelle et n'est pas diagonale

- On note λ_0 la valeur propre double de M .
- Un vecteur propre associ \tilde{A} est $\mathbf{u}_0 = \begin{pmatrix} u_{01} \\ u_{02} \end{pmatrix}$ et $\mathbf{m} = \begin{pmatrix} m_1 \\ m_2 \end{pmatrix}$ est un vecteur non colin \tilde{A} aire $\tilde{A} \mathbf{u}_0$.
- La matrice $\mathbf{P} = \begin{pmatrix} u_{01} & m_1 \\ u_{02} & m_2 \end{pmatrix}$ permet de triangulariser M .

$$\mathbf{P}^{-1}\mathbf{M}\mathbf{P} = \begin{pmatrix} \lambda_0 & c \\ 0 & \lambda_0 \end{pmatrix}$$

$c \neq 0$ est un réel non nul. Pour triangulariser M , on utilise une nouvelle

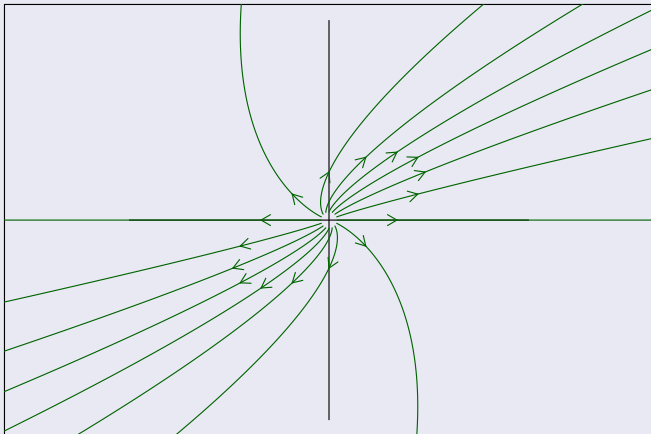
$$\begin{pmatrix} 1 & 0 \\ 0 & c^{-1} \end{pmatrix} \mathbf{P}$$

- $\mathbf{P}_1^{-1}\mathbf{M}\mathbf{P}_1 = \mathbf{J} = \begin{pmatrix} \lambda_0 & 1 \\ 0 & \lambda_0 \end{pmatrix}$

Typologie des syst \tilde{A} mes planaires

1 valeur propre $r_{\tilde{A}}$ nulle double et M n'est pas diagonale

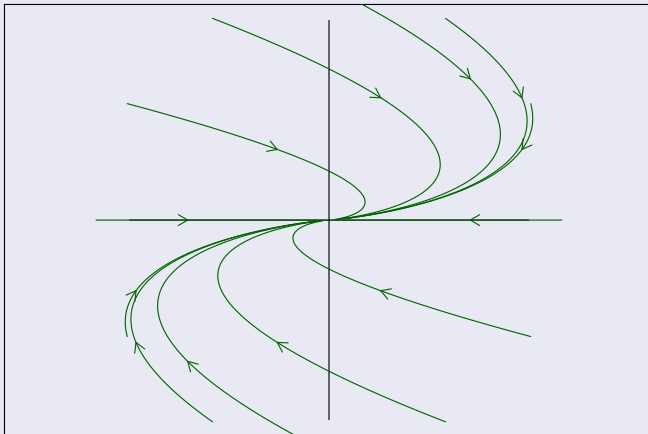
$\lambda_0 > 0$ Noeud d \tilde{A} g \tilde{A} n \tilde{A} r \tilde{A} instable



Typologie des syst \tilde{A} mes planaires

1 valeur propre $r\tilde{A}$ elle double et M n'est pas diagonale

$\lambda_0 < 0$ Noeud d \tilde{A} g \tilde{A} n \tilde{A} r \tilde{A} stable



Typologie des systÃmes planaires

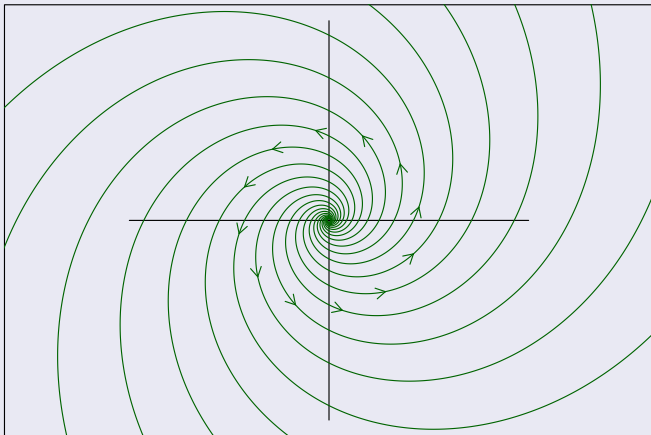
$\Delta < 0$, M a 2 valeurs propres complexes conjuguÃes

- On note $\lambda_{1,2} = \alpha \pm i\beta$, avec $\alpha = \frac{\text{tr}(M)}{2}$ et $\beta = \frac{\sqrt{|\Delta|}}{2}$.
- Des vecteurs propres associÃs λ_1 et λ_2 sont Ãgalement complexes conjuguÃs, et on peut Ãcrire $\mathbf{u}_{1,2} = \mathbf{a} \pm i\mathbf{b}$, oÃ $\mathbf{a} = \begin{pmatrix} a_1 \\ a_2 \end{pmatrix}$ et $\mathbf{b} = \begin{pmatrix} b_1 \\ b_2 \end{pmatrix}$ sont des vecteurs rÃels de \mathbb{R}^2 .
- La matrice de passage est $\mathbf{P} = \begin{pmatrix} b_1 & a_1 \\ b_2 & a_2 \end{pmatrix}$
- $\mathbf{P}^{-1}\mathbf{M}\mathbf{P} = \mathbf{J} = \begin{pmatrix} \alpha & -\beta \\ \beta & \alpha \end{pmatrix}$

Typologie des syst \tilde{A} mes planaires

2 valeurs propres complexes conjugu \tilde{A} es

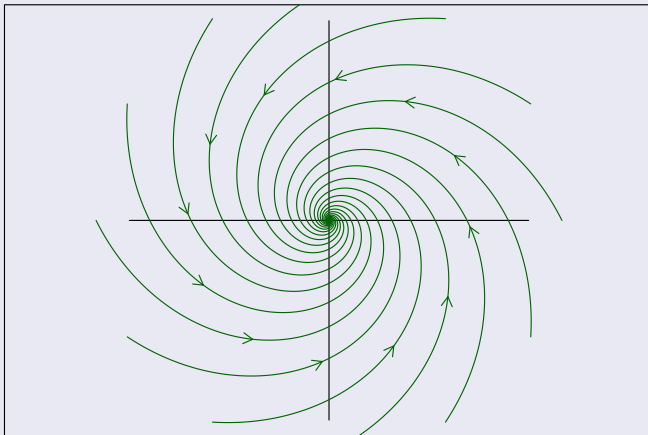
$\alpha > 0$ Foyer instable



Typologie des systÃmes planaires

2 valeurs propres complexes conjuguÃes

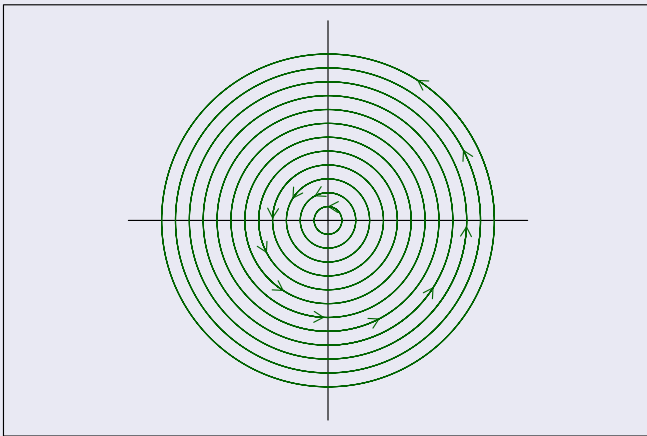
$\alpha < 0$ Foyer stable



Typologie des syst \tilde{A} mes planaires

2 valeurs propres complexes conjugu \tilde{A} es

$\alpha = 0$ Centre



Plan d'Ã©tude

- 2 Les systÃ©mes planaires dans \mathbb{R}^2
 - DÃ©finitions
 - Solutions des systÃ©mes d'EDO linÃ©aires (cas de 2 valeurs propres rÃ©elles)
 - Exponentielles de matrices et formes de Jordan
 - Typologie des systÃ©mes planaires
 - SynthÃ©se

Soit un syst me planaire du type

$$\begin{cases} \frac{du}{dt} = a_{11}u + a_{12}v \\ \frac{dv}{dt} = a_{21}u + a_{22}v \end{cases}$$

Ce syst me est  quivalent au syst me $\dot{\mathbf{X}} = \mathbf{M}\mathbf{X}$,

o  \mathbf{M} est la matrice Jacobiennedusyst me en $(0,0)$ finie par $\mathbf{M} = \begin{pmatrix} a_{11} & a_{12} \\ a_{21} & a_{22} \end{pmatrix}$.

Typologie des systèmes planaires : synthèse

Le type de point d'équilibre du système dépend du nombre, du type (complexe ou réel), et du signe de la partie réelle, des valeurs propres de la matrice Jacobienne du système \mathbf{M} . Ces valeurs propres sont solutions de l'équation caractéristique de \mathbf{M} ,

$$\lambda^2 - \text{tr}(\mathbf{M})\lambda + \det(\mathbf{M}) = 0.$$

On distingue plusieurs cas selon le signe de

$$\Delta = (\text{tr}(\mathbf{M}))^2 - 4\det(\mathbf{M}).$$

Typologie des systèmes planaires : synthèse

Cas $\Delta > 0$.

Les valeurs propres de \mathbf{M} sont

$$\lambda_{1,2} = \frac{\operatorname{tr}(\mathbf{M}) \pm \sqrt{(\operatorname{tr}(\mathbf{M}))^2 - 4\det(\mathbf{M})}}{2}$$

- Si $\det(\mathbf{M}) > 0$, alors $\sqrt{(\operatorname{tr}(\mathbf{M}))^2 - 4\det(\mathbf{M})} < |\operatorname{tr}(\mathbf{M})|$ et λ_1 et λ_2 sont du signe de $\operatorname{tr}(\mathbf{M})$. Le point d'équilibre est un nœud stable ou instable.
- Si $\det(\mathbf{M}) < 0$, alors $\sqrt{(\operatorname{tr}(\mathbf{M}))^2 - 4\det(\mathbf{M})} > |\operatorname{tr}(\mathbf{M})|$ et λ_1 et λ_2 sont de signes opposés. Le point d'équilibre est un point selle.

Typologie des systèmes planaires : synthèse

Cas $\Delta = 0$.

\mathbf{M} possède une valeur propre double

$$\lambda_0 = \frac{\text{tr}(\mathbf{M})}{2}$$

- Si \mathbf{M} est diagonale, le point d'équilibre est une toile stable ou instable selon le signe de $\text{tr}(\mathbf{M})$.
- Si \mathbf{M} n'est pas diagonale, le point d'équilibre est un nœud d'équilibre stable ou instable selon le signe de $\text{tr}(\mathbf{M})$.

Typologie des systÃmes planaires : synthÃse

Cas $\Delta < 0$.

\mathbf{M} possÃde deux valeurs propres complexes conjuguÃes

$$\lambda_{1,2} = \frac{\text{tr}(\mathbf{M})}{2} \pm i \frac{\sqrt{|(\text{tr}(\mathbf{M}))^2 - 4\det(\mathbf{M})|}}{2}$$

- Si $\text{tr}(\mathbf{M}) > 0$, le point d'Ãquilibre est un foyer instable.
- Si $\text{tr}(\mathbf{M}) < 0$, le point d'Ãquilibre est un foyer stable.
- Si $\text{tr}(\mathbf{M}) = 0$, le point d'Ãquilibre est un centre.

Typologie des systÃmes planaires : synthÃse

Dans le plan $(\text{tr}(\mathbf{M}); \det(\mathbf{M}))$, on peut reprÃsenter les rÃgions d'apparition des diffÃrents types de points d'Ãquilibre.

Le discriminant de l'Ãquation caractÃristique de la Jacobienne \mathbf{M} du systÃme est :

$$\Delta = (\text{tr}(\mathbf{M}))^2 - 4\det(\mathbf{M}).$$

La parabole d'Ãquation $\det(\mathbf{M}) = \frac{(\text{tr}(\mathbf{M}))^2}{4}$ dÃlimite les rÃgions du plan oÃ $\Delta > 0$ (sous la parabole) et $\Delta < 0$ (au dessus de la parabole).

Typologie des systÃmes planaires : synthÃse

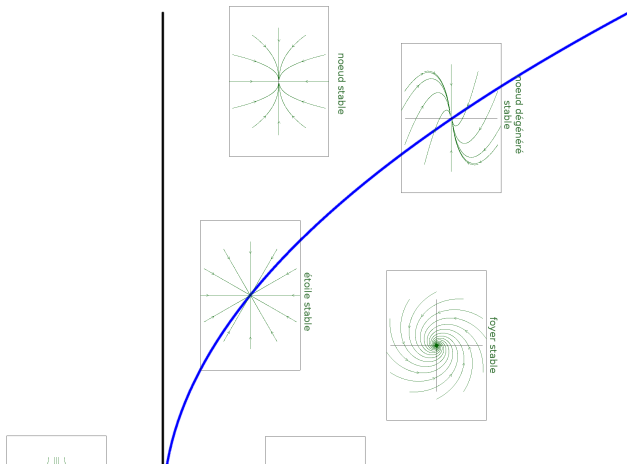


Table des mati res

- 1 Introduction : le mod le proie-pr dateurs de Lotka-Volterra
- 2 Les syst mes planaires dans \mathbb{R}^2
- 3  tude qualitative des syst mes non lin aires dans \mathbb{R}^2**
- 4 Exemples classiques
- 5 Pour aller plus loin

Plan détaillé

- 3 Étude qualitative des systèmes non linéaires dans \mathbb{R}^2
 - Exemple : le modèle proie-prédateurs de Lotka-Volterra
 - Isoclines et points d'équilibre
 - Jacobienne d'un système quelconque
 - Théorème de linéarisation

Modèle proie-prédateurs de Lotka-Volterra

Les équations du modèle

Les équations du modèle sont :

$$\begin{cases} \frac{dN}{dt} = rN \left(1 - \frac{N}{K}\right) - \alpha NP \\ \frac{dP}{dt} = -\mu P + \beta NP \end{cases}$$

Plan de la conférence

- 3 Étude qualitative des systèmes non linéaires dans \mathbb{R}^2
 - Exemple : le modèle proie-prédateurs de Lotka-Volterra
 - Isoclines et points d'équilibre
 - Jacobienne d'un système quelconque
 - Théorème de linéarisation

Isoclines nulles

Rappel

Soit un système dynamique d'EDO tel que

$$\begin{cases} \frac{dx}{dt} = f(x, y) \\ \frac{dy}{dt} = g(x, y) \end{cases}$$

Les isoclines nulles de ce système sont l'ensemble des points du plan qui vérifient :

$$\frac{dx}{dt} = f(x, y) = 0 \quad \text{ou} \quad \frac{dy}{dt} = g(x, y) = 0$$

Isoclines nulles

exemple

Dans le modèle proposé, les isoclines verticales vérifient $\frac{dN}{dt} = 0$

$$\begin{aligned} \frac{dN}{dt} = 0 &\iff rN \left(1 - \frac{N}{K}\right) - \alpha NP = 0 \\ &\iff N \left(r - \frac{rN}{K} - \alpha P\right) = 0 \\ &\iff N = 0 \\ &\quad \text{ou} \quad P = \frac{r(K - N)}{\alpha K} \end{aligned}$$

Il existe deux isoclines verticales d'équation $N = 0$ et $P = \frac{r(K - N)}{\alpha K}$.

Isoclines nulles

exemple

Dans le modèle proposé, les isoclines horizontales caractérisent $\frac{dP}{dt} = 0$

$$\begin{aligned} \frac{dP}{dt} = 0 &\iff -\mu P + \beta NP = 0 \\ &\iff P(-\mu + \beta N) = 0 \\ &\iff P = 0 \\ &\text{ou } N = \frac{\mu}{\beta} \end{aligned}$$

Il existe deux isoclines horizontales d'équation $P = 0$ et $N = \frac{\mu}{\beta}$.

DÃfinitions

Point d'Ãquilibre

Soit un systÃme dynamique d'EDO tel que

$$\begin{cases} \frac{dx}{dt} = f(x, y) \\ \frac{dy}{dt} = g(x, y) \end{cases}$$

Un point d'Ãquilibre de ce systÃme est un point (x^*, y^*) qui vÃrifie :

$$\begin{cases} \left. \frac{dx}{dt} \right|_{x=x^*, y=y^*} = f(x^*, y^*) = 0 \\ \left. \frac{dy}{dt} \right|_{x=x^*, y=y^*} = g(x^*, y^*) = 0 \end{cases}$$

Points d'équilibre

Les points d'équilibre sont l'intersection des isoclines horizontales et verticales. Dans le module de propos, il existe trois points d'équilibre :

$$\begin{array}{l}
 \mathbf{A}_0 \left\{ \begin{array}{l} N_0^* = 0 \\ p_0^* = 0 \end{array} \right. \\
 \mathbf{A}_1 \left\{ \begin{array}{l} P_1^* = 0 \\ P_1^* = \frac{r(K - N_1^*)}{\alpha K} \end{array} \right. \iff N_1^* = K \\
 \mathbf{A}_2 \left\{ \begin{array}{l} N_2^* = \frac{\mu}{\beta} \\ P_2^* = \frac{r(K - \frac{\mu}{\beta})}{\alpha K} \end{array} \right.
 \end{array}$$

Le point \mathbf{A}_2 n'existe que si $K > \frac{\mu}{\beta}$.

Étude du systÃ¨me au voisinage des points d'Ã©quilibre

Changement de variable

Soit un systÃ¨me dynamique d'EDO tel que

$$\begin{cases} \frac{dx}{dt} = f(x, y) \\ \frac{dy}{dt} = g(x, y), \end{cases}$$

possÃ©dant un point d'Ã©quilibre (x^*, y^*) .

On introduit le changement de variable suivant :

$$\begin{cases} u = x - x^* \\ v = y - y^* \end{cases}$$

Étude du systÃ¨me au voisinage des points d'Ã©quilibre

LinÃ©arisation au voisinage du point d'Ã©quilibre

On linÃ©arise le systÃ¨me au voisinage du point d'Ã©quilibre en utilisant un dÃ©veloppement de Taylor au premier ordre des fonctions f et g

$$\begin{cases} \dot{u} = \dot{x} = f(x^*, y^*) + \left. \frac{\partial f}{\partial x} \right|_{(x^*, y^*)} (x - x^*) + \left. \frac{\partial f}{\partial y} \right|_{(x^*, y^*)} (y - y^*) \\ \dot{v} = \dot{y} = g(x^*, y^*) + \left. \frac{\partial g}{\partial x} \right|_{(x^*, y^*)} (x - x^*) + \left. \frac{\partial g}{\partial y} \right|_{(x^*, y^*)} (y - y^*) \end{cases}$$

soit,

$$\begin{cases} \dot{u} = \left. \frac{\partial f}{\partial x} \right|_{(x^*, y^*)} u + \left. \frac{\partial f}{\partial y} \right|_{(x^*, y^*)} v \\ \dot{v} = \left. \frac{\partial g}{\partial x} \right|_{(x^*, y^*)} u + \left. \frac{\partial g}{\partial y} \right|_{(x^*, y^*)} v \end{cases}$$

Plan d'attribution

- 3 Étude qualitative des systèmes non linéaires dans \mathbb{R}^2
 - Exemple : le modèle proie-prédateurs de Lotka-Volterra
 - Isoclines et points d'équilibre
 - Jacobienne d'un système quelconque
 - Théorème de linéarisation

Jacobienne d'un systÃme quelconque

Soit un systÃme dynamique d'EDO tel que

$$\begin{cases} \frac{dx}{dt} = f(x, y) \\ \frac{dy}{dt} = g(x, y) \end{cases}$$

La matrice Jacobienne de ce systÃme est dÃfinie par

$$\mathbf{M} = \begin{pmatrix} \frac{\partial f}{\partial x} & \frac{\partial f}{\partial y} \\ \frac{\partial g}{\partial x} & \frac{\partial g}{\partial y} \end{pmatrix}$$

Jacobienne d'un système quelconque

Exemple du modèle de Lotka-Volterra

Les équations du système sont

$$\begin{cases} \dot{N} = rN \left(1 - \frac{N}{K}\right) - \alpha NP \\ \dot{P} = -\mu P + \beta NP \end{cases}$$

La matrice Jacobienne de ce système est

$$\mathbf{M} = \begin{pmatrix} \frac{\partial \dot{N}}{\partial N} & \frac{\partial \dot{N}}{\partial P} \\ \frac{\partial \dot{P}}{\partial N} & \frac{\partial \dot{P}}{\partial P} \end{pmatrix}$$

Jacobienne d'un systÃ¨me quelconque

Exemple du modÃ¨le de Lotka-Volterra

Les Ã©quations du systÃ¨me sont

$$\begin{cases} \dot{N} = rN \left(1 - \frac{N}{K}\right) - \alpha NP \\ \dot{P} = -\mu P + \beta NP \end{cases}$$

La matrice Jacobienne de ce systÃ¨me est

$$\mathbf{M} = \begin{pmatrix} r - \alpha P - \frac{2rN}{K} & -\alpha N \\ \beta P & \beta N - \mu \end{pmatrix}$$

Plan de travail

- 3 Étude qualitative des systèmes non linéaires dans \mathbb{R}^2
 - Exemple : le modèle proie-prédateurs de Lotka-Volterra
 - Isoclines et points d'équilibre
 - Jacobienne d'un système quelconque
 - Théorème de linéarisation

ThÃorÃme de linÃarisation

ThÃorÃme de linÃarisation

Soit un systÃme non linÃaire $\dot{\mathbf{X}} = \Phi(\mathbf{X})$ admettant un point d'Ãquilibre (x^*, y^*) et tel que $\det(\mathbf{A}) \neq 0$,
 oÃ \mathbf{A} est la matrice JacobiennedusystÃme au point (x^*, y^*) . Alors, dans un voisinage du point d'Ãquilibre, les portraits de phase du systÃme $\dot{\mathbf{X}} = \Phi(\mathbf{X})$ et de sa forme linÃarisÃe $\dot{\mathbf{U}} = \mathbf{A}\mathbf{U}$ sont qualitativement Ãquivalents, sous rÃserve que le systÃme linÃarisÃe ne corresponde pas Ã des centres.

Théorème de linéarisation

Application au modèle de Lotka et Volterra (cas $K > \frac{\mu}{\beta}$)

On se place dans le cas où il existe trois points d'équilibre $K > \frac{\mu}{\beta}$.

La Jacobienne du système est :

$$\mathbf{M} = \begin{pmatrix} r - \alpha P - \frac{2rN}{K} & -\alpha N \\ \beta P & \beta N - \mu \end{pmatrix}$$

Au point d'équilibre $\mathbf{A}_0 = (0, 0)$, la Jacobienne s'écrit

$$\mathbf{M}_{A_0} = \begin{pmatrix} r & 0 \\ 0 & -\mu \end{pmatrix}$$

On a $\det(\mathbf{M}_{A_0}) = -r\mu < 0$ donc le point d'équilibre $\mathbf{A}_0 = (0, 0)$ est un point selle.

Théorème de linéarisation

Application au modèle de Lotka et Volterra

Au point d'équilibre $\mathbf{A}_1 = (K, 0)$, la Jacobienne s'écrit

$$\mathbf{M}_{A_1} = \begin{pmatrix} -r & -\alpha K \\ 0 & \beta K - \mu \end{pmatrix}$$

On a $\det(\mathbf{M}_{A_1}) = -r(\beta K - \mu) < 0$ (car $\beta K > \mu$) donc le point d'équilibre $\mathbf{A}_1 = (K, 0)$ est un point selle.

Théorème de linéarisation

Application au modèle de Lotka et Volterra

Au point d'équilibre $\mathbf{A}_2 = \left(\frac{\mu}{\beta}, \frac{r(K - \frac{\mu}{\beta})}{\alpha K} \right)$, la Jacobienne s'écrit

$$\mathbf{M}_{A_2} = \begin{pmatrix} -r \frac{N^*}{K} & -\alpha N^* \\ \beta P^* & 0 \end{pmatrix}$$

On a $\det(\mathbf{M}_{A_2}) = \alpha\beta N^* P^* > 0$ et $\text{tr}(\mathbf{M}_{A_2}) = -r \frac{N^*}{K} < 0$ donc le point d'équilibre \mathbf{A}_2 est un nœud, un nœud dégénéré, ou un foyer stable selon le signe de $\Delta = (\text{tr}(\mathbf{M}_{A_2}))^2 - 4\det(\mathbf{M}_{A_2})$.

Application au modèle de Lotka et Volterra

Étude du signe de Δ

$$\begin{aligned} \Delta &= (\operatorname{tr}(\mathbf{M}_{A_2}))^2 - 4\det(\mathbf{M}_{A_2}) \\ &= \left(\frac{r}{K}N^*\right)^2 - 4\alpha\beta N^*P^* \\ \iff \frac{\Delta}{N^*} &= \frac{r^2}{K^2}\frac{\mu}{\beta} - 4\alpha\beta\frac{r}{\alpha K}\left(K - \frac{\mu}{\beta}\right) \\ \iff \frac{K\Delta}{rN^*} &= r\frac{\mu}{K\beta} + 4(\mu - \beta K). \end{aligned}$$

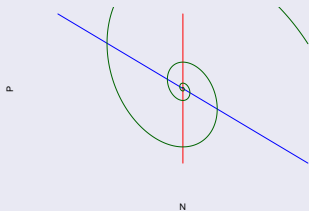
Δ est donc du signe de $r\frac{\mu}{K\beta} + 4(\mu - \beta K)$.

$$\Delta < 0 \iff r < \frac{4(\beta K - \mu)K\beta}{\mu}$$

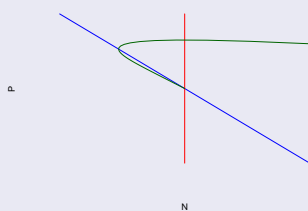
Application au modèle de Lotka et Volterra

Portrait de phase au voisinage de A_2

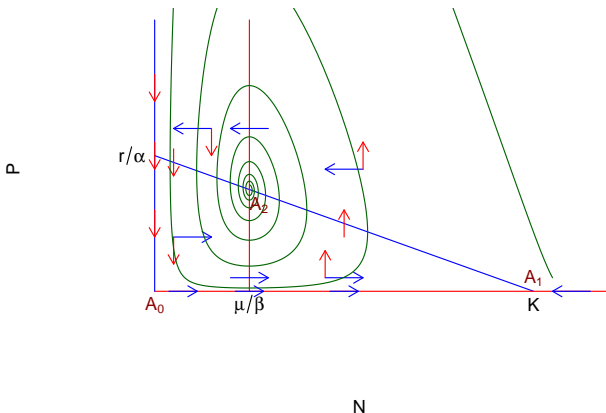
$$r < \frac{4(\beta K - \mu)K\beta}{\mu} \Rightarrow \text{foyer stable}$$



$$r > \frac{4(\beta K - \mu)K\beta}{\mu} \Rightarrow \text{nœud stable}$$



Application au modèle de Lotka et Volterra

Portrait de phase (cas $K > \frac{\mu}{\beta}$ et $r < \frac{4(\beta K - \mu)K\beta}{\mu}$)

Application au modÃ©le de Lotka et Volterra

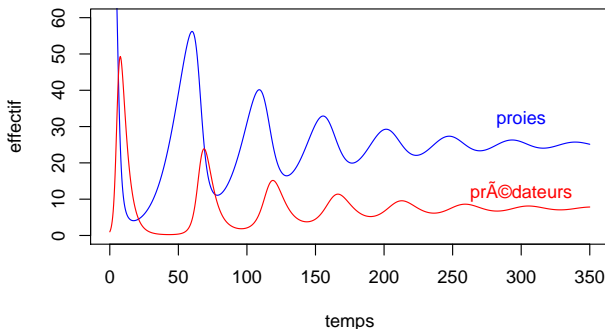
Chroniques (cas $K > \frac{\mu}{\beta}$ et $r < \frac{4(\beta K - \mu)K\beta}{\mu}$)

Table des matières

- 1 Introduction : le modèle proie-prédateurs de Lotka-Volterra
- 2 Les systèmes planaires dans \mathbb{R}^2
- 3 Étude qualitative des systèmes non linéaires dans \mathbb{R}^2
- 4 Exemples classiques**
- 5 Pour aller plus loin

Plan détaillé

- 4 Exemples classiques
 - Le modèle de compétition interspécifique de Lotka-Volterra
 - Le modèle épidémiologique SIR

Modèle de compétition interspécifique

Présentation du modèle

On modélise deux espèces 1 et 2 en compétition

- Croissance logistique en absence de compétition
- Chaque individu de l'espèce 2 gêne la croissance de l'espèce 1 comme α individus de l'espèce 1.
- Chaque individu de l'espèce 1 gêne la croissance de l'espèce 2 comme β individus de l'espèce 2.

Modèle de compétition interspécifique

Les équations du modèle

Espace 1

$$\frac{dN_1}{dt} = r_1 N_1 \left(1 - \frac{N_1 + \alpha N_2}{K_1} \right)$$

Espace 2

$$\frac{dN_2}{dt} = r_2 N_2 \left(1 - \frac{N_2 + \beta N_1}{K_2} \right)$$

Modèle de compétition interspécifique

Isoclines nulles : isoclines verticales $\dot{N}_1 = 0$ On résoud $\dot{N}_1 = 0$

$$\begin{aligned} & \frac{dN_1}{dt} = 0 \\ \iff & r_1 N_1 \left(1 - \frac{N_1 + \alpha N_2}{K_1} \right) = 0 \\ \iff & N_1 = 0 \\ \text{ou} & \frac{N_1 + \alpha N_2}{K_1} = 1 \\ \iff & N_1 + \alpha N_2 = K_1 \\ \iff & N_2 = \frac{K_1 - N_1}{\alpha} \end{aligned}$$

Il y a deux isoclines verticales d'équation $N_1 = 0$ et $N_2 = \frac{K_1 - N_1}{\alpha}$.

Le modèle de compétition interspécifique de Lotka-Volterra

Modèle de compétition interspécifique

Isoclines nulles : isoclines horizontales $\dot{N}_2 = 0$

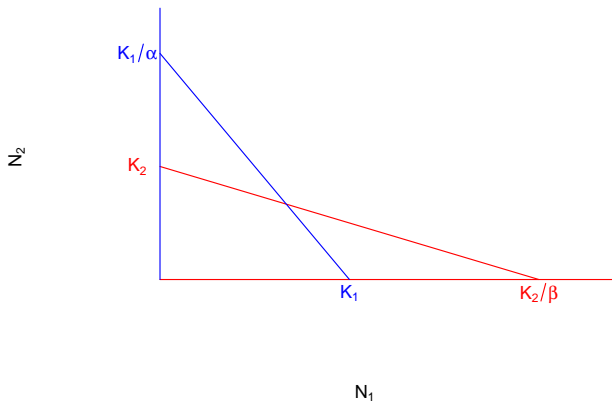
On raisonne par symétrie ($N_1 \leftrightarrow N_2$, $K_1 \leftrightarrow K_2$, $r_1 \leftrightarrow r_2$ et $\alpha \leftrightarrow \beta$).

$$\begin{aligned} & \iff \frac{dN_2}{dt} = 0 \\ & \iff N_2 = 0 \\ & \text{ou} \quad N_1 = \frac{K_2 - N_2}{\beta} \\ & \iff N_2 = K_2 - \beta N_1 \end{aligned}$$

Il y a deux isoclines horizontales d'équation $N_2 = 0$ et $N_2 = K_2 - \beta N_1$.

Modèle de compétition interspécifique

Portrait de phase

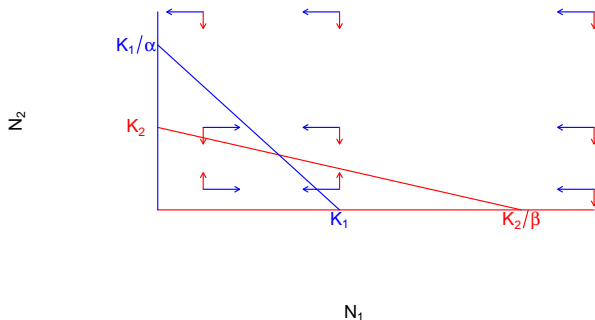


Exemples classiques

Le modèle de compétition interspécifique de Lotka-Volterra

Modèle de compétition interspécifique

Portrait de phase : directions des vecteurs vitesse



Modèle de compétition interspécifique

Points d'équilibre

Points d'équilibres sur l'isocline verticale $N_1 = 0$

- $N_2 = 0$, un point d'équilibre $A_0 : (N_1^*(0) = 0; N_2^*(0) = 0)$.
- $N_2 = K_2 - N_1$ un point d'équilibre
 $A_1 : (N_1^*(1) = 0; N_2^*(1) = K_2)$.

Points d'équilibres sur l'isocline verticale $N_2 = \frac{K_1 - N_1}{\alpha}$

- $N_2 = 0$, un point d'équilibre $A_2 : (N_1^*(2) = K_1; N_2^*(2) = 0)$.
- $N_2 = K_2 - \beta N_1$ un point d'équilibre
 $A_3 : (N_1^*(3) = \frac{K_1 - \alpha K_2}{1 - \alpha\beta}; N_2^*(3) = \frac{K_2 - \beta K_1}{1 - \alpha\beta})$

Modèle de compétition interspécifique

Points d'équilibre

Il y a quatre points d'équilibre

- $A_0 : (N_1^*(0) = 0; N_2^*(0) = 0)$.
- $A_1 : (N_1^*(1) = 0; N_2^*(1) = K_2)$.
- $A_2 : (N_1^*(2) = K_1; N_2^*(2) = 0)$.
- $A_3 : (N_1^*(3) = \frac{K_1 - \alpha K_2}{1 - \alpha\beta}; N_2^*(3) = \frac{K_2 - \beta K_1}{1 - \alpha\beta})$

Conditions d'existence du point d'équilibre A_3

$$\left\{ \begin{array}{l} 1 - \alpha\beta > 0 \\ \frac{K_1}{K_2} > \alpha \\ \frac{K_2}{K_1} > \beta \end{array} \right. \quad \text{ou} \quad \left\{ \begin{array}{l} 1 - \alpha\beta < 0 \\ \frac{K_1}{K_2} < \alpha \\ \frac{K_2}{K_1} < \beta \end{array} \right.$$

Modèle de compétition interspécifique

Matrice Jacobienne

La matrice Jacobienne du système est

$$\mathbf{M} = \begin{pmatrix} r_1 \left(1 - \frac{2N_1 + \alpha N_2}{K_1} \right) & -\frac{\alpha r_1}{K_1} N_1 \\ -\frac{\beta r_2}{K_2} N_2 & r_2 \left(1 - \frac{2N_2 + \beta N_1}{K_2} \right) \end{pmatrix}$$

Modèle de compétition interspécifique

Stabilité des points d'équilibre

Au point d'équilibre $A_0 : (N_1^*(0) = 0; N_2^*(0) = 0)$, la matrice Jacobienne s'écrit

$$M_0 = \begin{pmatrix} r_1 & 0 \\ 0 & r_2 \end{pmatrix}$$

A_0 est un nœud instable.

Modèle de compétition interspécifique

Stabilité des points d'équilibre

Au point d'équilibre $A_1 : (N_1^* = 0; N_2^* = K_2)$, la matrice Jacobienne s'écrit

$$\mathbf{M}_1 = \begin{pmatrix} r_1 \left(1 - \alpha \frac{K_2}{K_1}\right) & 0 \\ -\beta r_2 & -r_2 \end{pmatrix}$$

- Si $\frac{K_1}{\alpha} < K_2$, alors $\det(\mathbf{M}_1) > 0$ et $\text{tr}(\mathbf{M}_1) < 0$, A_1 est donc un point d'équilibre stable.
- Si $\frac{K_1}{\alpha} > K_2$, alors $\det(\mathbf{M}_1) < 0$, A_1 est donc un point selle.

Modèle de compétition interspécifique

Stabilité des points d'équilibre

Au point d'équilibre $A_2 : (N_1^*(2) = K_1; N_2^*(2) = 0)$, on raisonne par symétrie

$$\mathbf{M}_2 = \begin{pmatrix} -r_1 & -\alpha r_1 \\ 0 & r_2 \left(1 - \beta \frac{K_1}{K_2}\right) \end{pmatrix}$$

- Si $\frac{K_2}{\beta} < K_1$, alors $\det(\mathbf{M}_2) > 0$ et $\text{tr}(\mathbf{M}_2) < 0$, A_2 est donc un point d'équilibre stable.
- Si $\frac{K_2}{\beta} > K_1$, alors $\det(\mathbf{M}_2) < 0$, A_2 est donc un point selle.

Modèle de compétition interspécifique

Stabilité des points d'équilibre

Au point d'équilibre $A_3 : (N_1^*(3) = \frac{K_1 - \alpha K_2}{1 - \alpha\beta}; N_2^*(3) = \frac{K_2 - \beta K_1}{1 - \alpha\beta})$,
la matrice Jacobienne s'écrit :

$$M_3 = \begin{pmatrix} r_1 \left(1 - \frac{2N_1^*(3) + \alpha N_2^*(3)}{K_1} \right) & -\frac{\alpha r_1 N_1^*(3)}{K_1} \\ -\frac{\beta r_2 N_2^*(3)}{K_2} & r_2 \left(1 - \frac{2N_2^*(3) + \beta N_1^*(3)}{K_2} \right) \end{pmatrix}$$

Modèle de compétition interspécifique

Stabilité des points d'équilibre

Au point d'équilibre $A_3 : (N_1^*(3) = \frac{K_1 - \alpha K_2}{1 - \alpha\beta}; N_2^*(3) = \frac{K_2 - \beta K_1}{1 - \alpha\beta})$,
la matrice Jacobienne s'écrit :

$$M_3 = \begin{pmatrix} -\frac{r_1 N_1^*(3)}{K_1} & -\frac{\alpha r_1 N_1^*(3)}{K_1} \\ -\frac{\beta r_2 N_2^*(3)}{K_2} & -\frac{r_2 N_2^*(3)}{K_2} \end{pmatrix}$$

Modèle de compétition interspécifique

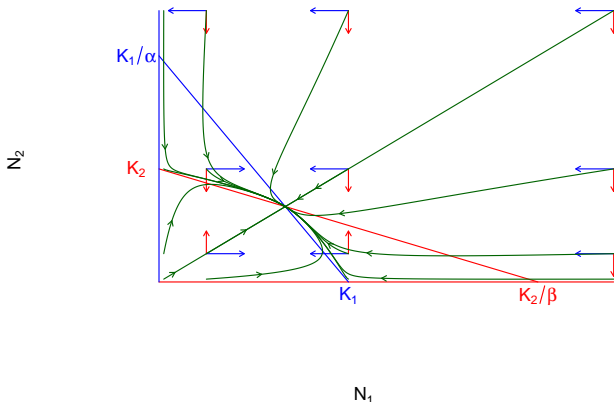
Stabilité des points d'équilibre

$$\det(\mathbf{M}_3) = (1 - \alpha\beta) \frac{r_1 r_2 N_1^*(3) N_2^*(3)}{K_1 K_2} \text{ est du signe de } (1 - \alpha\beta).$$

$$\text{tr}(\mathbf{M}_3) = -\frac{r_1 N_1^*(3)}{K_1} - \frac{r_2 N_2^*(3)}{K_2} < 0$$

- Si $(1 - \alpha\beta) < 0$, alors A_3 est un point selle.
- Si $(1 - \alpha\beta) > 0$, alors A_3 est un point d'équilibre stable.

Modèle de compétition interspécifique

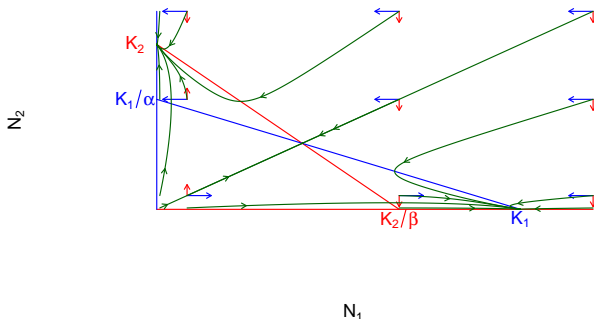
Portrait de phase : cas où A_3 existe et $1 - \alpha\beta > 0$ 

Il y a coexistence des deux espèces.

Exemples classiques

Le modèle de compétition interspécifique de Lotka-Volterra

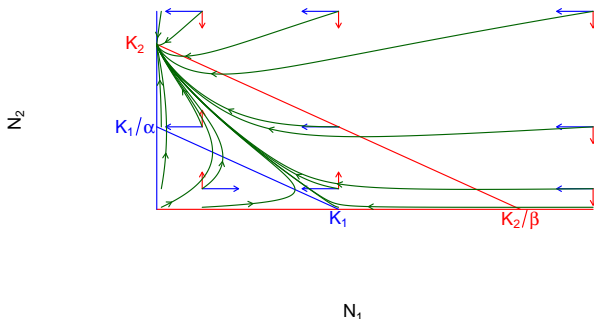
Modèle de compétition interspécifique

Portrait de phase : cas où A_3 existe et $1 - \alpha\beta < 0$ 

Il y a exclusion mutuelle.

Le modèle de compétition interspécifique de Lotka-Volterra

Modèle de compétition interspécifique

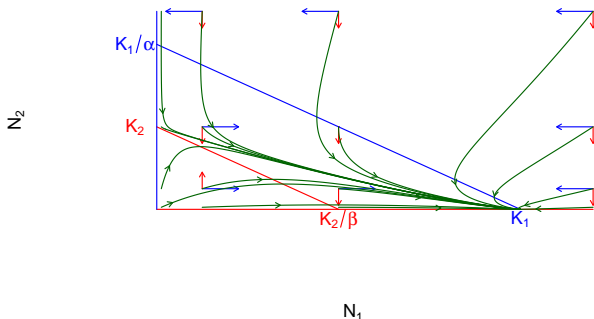
Portrait de phase : cas où A_3 n'existe pas et $K_2 > K_1/\alpha$ 

L'espace 2 exclut l'espace 1.

Exemples classiques

Le modèle de compétition interspécifique de Lotka-Volterra

Modèle de compétition interspécifique

Portrait de phase : cas où A_3 n'existe pas et $K_1 > K_2/\beta$ 

L'espace 1 exclut l'espace 2.

Plan de la conférence

4 Exemples classiques

- Le modèle de compétition interspécifique de Lotka-Volterra
- Le modèle épidémiologique SIR

Le modèle épidémiologique SIR

Présentation du modèle

Ce modèle distingue trois classes d'individus selon leur susceptibilité vis-à-vis d'une maladie contagieuse.

- Les individus susceptibles S sont sains et peuvent être contaminés.
- Les individus infectés I peuvent contaminer les individus susceptibles.
- Les individus immunisés R ont été infectés et sont immunisés quelques temps contre la maladie. Ils redeviennent ensuite susceptibles.

Le modèle épidémiologique SIR

Équations du modèle

Les équations du modèle sont

$$\begin{cases} \frac{dS}{dt} = -\beta IS + \gamma R \\ \frac{dI}{dt} = \beta IS - \nu I \\ \frac{dR}{dt} = \nu I - \gamma R \end{cases}$$

Le modèle épidémiologique SIR

Interprétation biologique

- βIS est le terme d'interaction entre les individus susceptibles et les individus infectés. C'est la quantité d'individus susceptibles devenant infectés par unité de temps dt .
- νI est la quantité d'individus infectés qui guérissent par unité de temps dt .
- γR est la quantité d'individus immunisés qui perdent leur immunité par unité de temps dt .

Le modèle épidémiologique SIR

Points d'équilibre

Si on note $N = S + I + R$, on a

$$\frac{dN}{dt} = \frac{dS}{dt} + \frac{dI}{dt} + \frac{dR}{dt} = \beta SI - \beta IS + \gamma R - \gamma R + \nu I - \nu I = 0$$

$\frac{dN}{dt} = 0 \iff N = N_0$, on peut donc réduire ce système à un système à deux dimensions S et I , on aura tout instant $R = N_0 - S - I$.

Le modèle épidémiologique SIR

Points d'équilibre

$$\begin{cases} \frac{dS}{dt} = 0 \\ \frac{dI}{dt} = 0 \\ \frac{dR}{dt} = 0 \end{cases} \iff \begin{cases} \gamma R = \beta IS \\ \nu I = \beta IS \\ \nu I = \gamma R \end{cases} \iff \begin{cases} S = \frac{\gamma R}{\beta I} \\ I = 0 \quad \text{ou} \quad S = \frac{\nu}{\beta} \\ R = \frac{\nu}{\gamma} I \end{cases}$$

Le modèle épidémiologique SIR

Points d'équilibre

- $I_0^* = 0 \Rightarrow R_0^* = 0$ et $S_0^* = N_0$, tous les individus sont sains.
- $S_1^* = \frac{\nu}{\beta}$, $I_1^* = N_0 - R_1^* - S_1^*$ et $R_1^* = \frac{\nu}{\gamma} I_1^*$ donc

$$S_1^* = \frac{\nu}{\beta}$$

$$I_1^* = \frac{N_0 - \frac{\nu}{\beta}}{1 + \frac{\nu}{\gamma}} = \frac{\gamma(\beta N_0 - \nu)}{\beta(\gamma + \nu)}$$

$$R_1^* = \frac{N_0 - \frac{\nu}{\beta}}{1 + \frac{\gamma}{\nu}} = \frac{\nu(\beta N_0 - \nu)}{\beta(\gamma + \nu)}$$

Ce point n'existe que si $N_0 > \frac{\nu}{\beta}$

Le modÃle ÃpidÃmiologique SIR

Isoclines nulles

En utilisant la relation $N_0 = S + I + R$,

$$\left\{ \begin{array}{l} \frac{dS}{dt} = -\beta IS + \gamma R \\ \frac{dI}{dt} = \beta IS - \nu I \\ \frac{dR}{dt} = \nu I - \gamma R \end{array} \right. \Rightarrow \left\{ \begin{array}{l} \frac{dS}{dt} = \gamma(N_0 - I) - (\beta I + \gamma)S \\ \frac{dI}{dt} = \beta IS - \nu I \end{array} \right.$$

Le modèle épidémiologique SIR

Isoclines nulles

$$\begin{cases} \frac{dS}{dt} = 0 \\ \frac{dI}{dt} = 0 \end{cases} \iff \begin{cases} \gamma(N_0 - I) - (\beta I + \gamma)S = 0 \\ I(\beta S - \nu) = 0 \end{cases}$$

$$\iff \begin{cases} S = \frac{\gamma(N_0 - I)}{\beta I + \gamma} \\ I = 0 \quad \text{ou} \quad S = \frac{\nu}{\beta} \end{cases}$$

Le modèle épidémiologique SIR

Matrice Jacobienne du système

$$\begin{cases} \frac{dS}{dt} = \gamma(N_0 - I) - (\beta I + \gamma)S \\ \frac{dI}{dt} = \beta IS - \nu I \end{cases} \Rightarrow \mathbf{M} = \begin{pmatrix} -\beta I - \gamma & -\beta S - \gamma \\ \beta I & \beta S - \nu \end{pmatrix}$$

Le modèle épidémiologique SIR

Stabilité des points d'équilibre

Au point $(S_0^* = N_0; I_0^* = 0)$, la Jacobienne s'écrit

$$\mathbf{M}_0 = \begin{pmatrix} -\gamma & -\beta N_0 - \gamma \\ 0 & \beta N_0 - \nu \end{pmatrix}$$

 $\text{tr}(\mathbf{M}_0) = -\gamma + \beta N_0 - \nu$ et $\det(\mathbf{M}_0) = -\gamma(\beta N_0 - \nu)$

$$N_0 > \frac{\nu}{\beta}$$

$$\det(\mathbf{M}_0) < 0$$

 $\Rightarrow (S_0^*; I_0^*)$ est un point selle.

$$N_0 < \frac{\nu}{\beta}$$

$$\det(\mathbf{M}_0) > 0 \text{ et } \text{tr}(\mathbf{M}_0) < 0$$

$$\Delta = (-\gamma + \beta N_0 - \nu)^2$$

$$+ 4\gamma(\beta N_0 - \nu)$$

$$= (-\gamma - \beta N_0 + \nu)^2 > 0$$

 $\Rightarrow (S_0^*; I_0^*)$ est un nœud stable.

Le modèle épidémiologique SIR

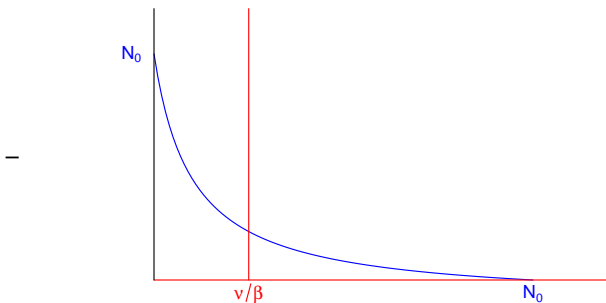
Stabilité des points d'équilibre

Au point $\left(S_1^* = \frac{\nu}{\beta}; I_1^* = \frac{\gamma(\beta N_0 - \nu)}{\beta(\gamma + \nu)} \right)$, la Jacobienne s'écrit

$$\mathbf{M}_1 = \begin{pmatrix} -\beta I_1^* - \gamma & -\beta S_1^* - \gamma \\ \beta I_1^* & 0 \end{pmatrix}$$

$$\left. \begin{array}{l} \text{tr}(\mathbf{M}_1) = -\beta I_1^* - \gamma < 0 \\ \det(\mathbf{M}_1) = \beta I_1^* (\beta S_1^* + \gamma) > 0 \end{array} \right\} \Rightarrow (S_1^*; I_1^*) \text{ est stable.}$$

Le modèle épidémiologique SIR

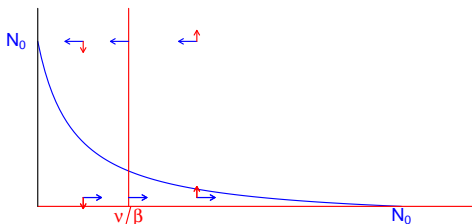
Portrait de phase, $N_0 > \frac{\nu}{\beta}$ 

S

Exemples classiques

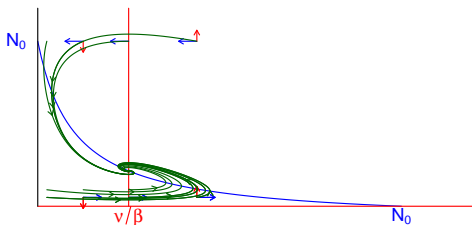
Le modèle épidémiologique SIR

Le modèle épidémiologique SIR

Portrait de phase, $N_0 > \frac{\nu}{\beta}$, directions des vecteurs vitesse

S

Le modèle épidémiologique SIR

Portrait de phase, $N_0 > \frac{\nu}{\beta}$, trajectoires

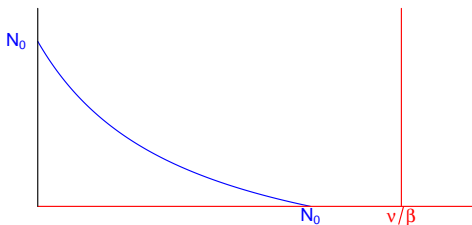
s

À l'équilibre $I_1^* > 0$, $S_1^* = \frac{\nu}{\beta}$ et $R_1^* = N_0 - I_1^* - S_1^*$.

Exemples classiques

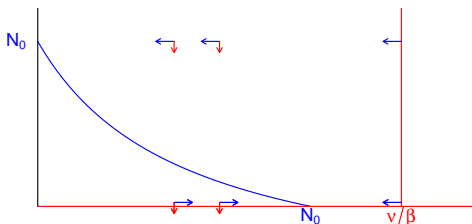
Le modèle épidémiologique SIR

Le modèle épidémiologique SIR

Portrait de phase, $N_0 < \frac{\nu}{\beta}$ 

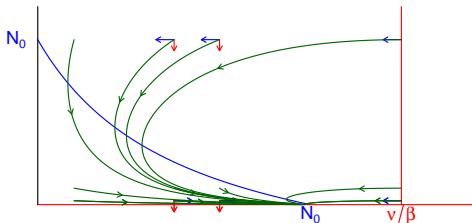
S

Le modèle épidémiologique SIR

Portrait de phase, $N_0 < \frac{\nu}{\beta}$, directions des vecteurs vitesse

S

Le modèle épidémiologique SIR

Portrait de phase, $N_0 < \frac{\nu}{\beta}$, trajectoires

S

L'infection ne se maintient pas dans la population.

Table des mati res

- 1 Introduction : le mod le proie-pr dateurs de Lotka-Volterra
- 2 Les syst mes planaires dans \mathbb{R}^2
- 3  tude qualitative des syst mes non lin aires dans \mathbb{R}^2
- 4 Exemples classiques
- 5 Pour aller plus loin

Plan détaillé

- 5 Pour aller plus loin
 - Le modèle proie-prédateur de Lotka et Volterra, avec croissance exponentielle des proies
 - La notion d'intégrale première
 - Suggestion de lecture

Le modèle proie-prédateur

Avec une croissance exponentielle des proies

Les équations du modèle sont

$$\begin{cases} \frac{dN}{dt} = rN - \alpha NP \\ \frac{dP}{dt} = -\mu P + \beta NP \end{cases}$$

Isoclines nulles

$$\left\{ \begin{array}{l} \frac{dN}{dt} = rN - \alpha NP \\ \frac{dP}{dt} = -\mu P + \beta NP \end{array} \right. \quad \begin{array}{l} \frac{dN}{dt} = 0 \\ \Leftrightarrow N(r - \alpha P) = 0 \\ \Leftrightarrow N = 0 \\ \text{ou } P = \frac{r}{\alpha} \end{array}$$

Pour aller plus loin

Le modÃle proieur de Lotka et Volterra, avec croissance exponentielle des proies

Isoclines nulles

$$\left\{ \begin{array}{l} \frac{dN}{dt} = rN - \alpha NP \\ \frac{dP}{dt} = -\mu P + \beta NP \end{array} \right. \quad \begin{array}{l} \frac{dP}{dt} = 0 \\ \Leftrightarrow P(-\mu + \beta N) = 0 \\ \Leftrightarrow P = 0 \\ \text{ou } N = \frac{\mu}{\beta} \end{array}$$

Points d'équilibre

Les points d'équilibre sont l'intersection des isoclines nulles.

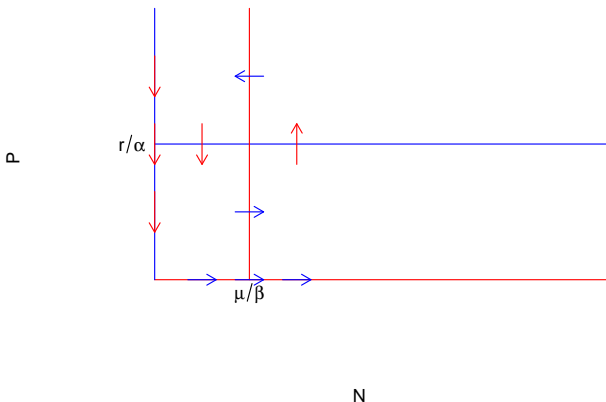
$$\begin{cases} N = 0 \\ P = 0 \end{cases} \quad \begin{cases} N = \frac{\mu}{\beta} \\ P = \frac{r}{\alpha} \end{cases}$$

Pour aller plus loin

Le modèle proie-prédateur de Lotka et Volterra, avec croissance exponentielle des proies

Portrait de phase

Vecteurs vitesse



Matrice Jacobienne du systÃme

$$\begin{cases} \frac{dN}{dt} = rN - \alpha NP \\ \frac{dP}{dt} = -\mu P + \beta NP \end{cases} \quad \mathbf{M} = \begin{pmatrix} r - \alpha P & -\alpha N \\ \beta P & -\mu + \beta N \end{pmatrix}$$

Pour aller plus loin

Le modèle proie-prédateur de Lotka et Volterra, avec croissance exponentielle des proies

Matrice Jacobienne du système

Au point d'équilibre $N = 0, P = 0$

$$\mathbf{M} = \begin{pmatrix} r - \alpha P & -\alpha N \\ \beta P & -\mu + \beta N \end{pmatrix} \quad \mathbf{M}_{0,0} = \begin{pmatrix} r & 0 \\ 0 & -\mu \end{pmatrix}$$

$\det(\mathbf{M}) < 0 \Rightarrow$ le point $(0, 0)$ est un point selle.

Le modèle proie-prédateur de Lotka et Volterra, avec croissance exponentielle des proies

Matrice Jacobienne du système

Au point d'équilibre $N^* = \frac{\mu}{\beta}$, $P^* = \frac{r}{\alpha}$

$$\mathbf{M} = \begin{pmatrix} r - \alpha P & -\alpha N \\ \beta P & -\mu + \beta N \end{pmatrix} \quad \mathbf{M}_{N^*, P^*} = \begin{pmatrix} 0 & -\alpha N^* \\ \beta P^* & 0 \end{pmatrix}$$

$\det(\mathbf{M}) = \alpha\beta N^* P^* > 0$ et $\text{tr}(\mathbf{M}) = 0 \Rightarrow$ la linéarisation prévoit des centres.

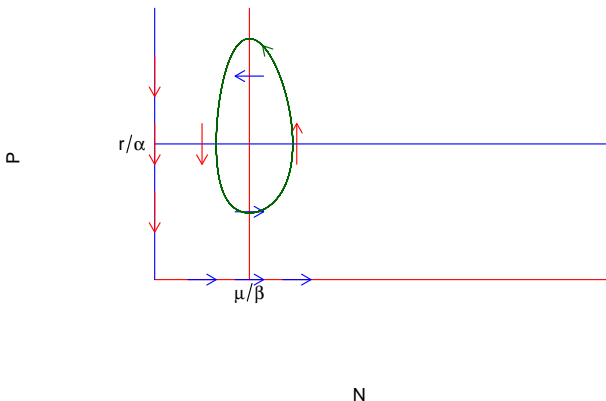
Le théorème de linéarisation ne peut pas s'appliquer.

Pour aller plus loin

Le modÃle proie prÃ©dateur de Lotka et Volterra, avec croissance exponentielle des proies

Évolution du systÃme

Le point d'Ã©quilibre non trivial est un centre



Plan détaillé

5 Pour aller plus loin

- Le modèle proie-prédateur de Lotka et Volterra, avec croissance exponentielle des proies
- La notion d'intégrale première
- Suggestion de lecture

Intégrale première

Les solutions $(N(t), P(t))$ du système vérifient

$$\left. \begin{aligned} \frac{dN}{dt} &= rN - \alpha NP \\ \frac{dP}{dt} &= -\mu P + \beta NP \end{aligned} \right\} \Rightarrow \frac{dN}{dP} = \frac{(r - \alpha P)N}{(\beta N - \mu)P}$$

$$\Rightarrow \frac{\beta N - \mu}{N} dN = \frac{r - \alpha P}{P} dP$$

$$\Rightarrow \int \left(\beta - \frac{\mu}{N}\right) dN = \int \left(\frac{r}{P} - \alpha\right) dP$$

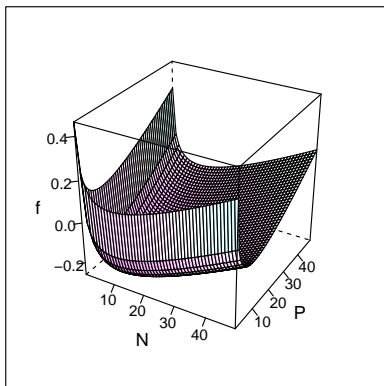
$$\Rightarrow \beta N - \mu \ln(N) + \alpha P - r \ln(P) = K$$

K est une constante quelconque.

On note $f(N, P) = \beta N - \mu \ln(N) + \alpha P - r \ln(P)$.

Graphes de la fonction f

Pour $r = \mu = 0.1$, et $\alpha = \beta = 0.01$

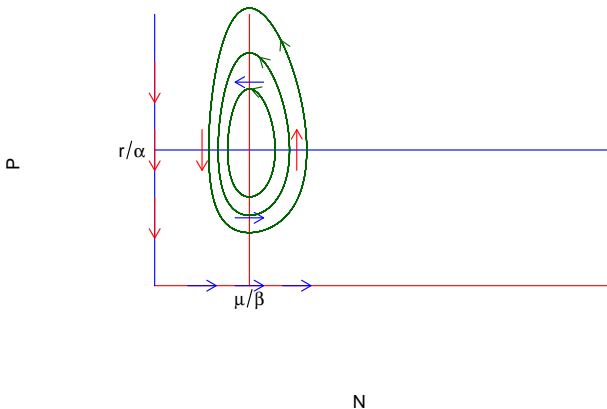


$f(N, P)$ admet un minimum en $\left(N = \frac{\mu}{\beta}, P = \frac{r}{\alpha}\right)$

Pour aller plus loin

La notion d'intégrale première

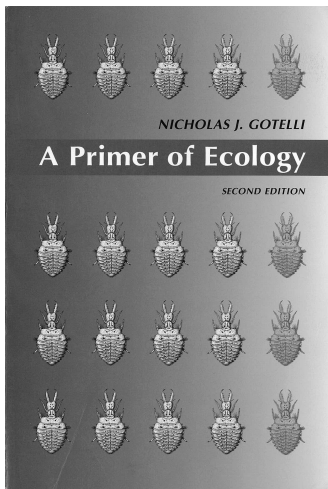
Évolution du système

Les solutions suivent des courbes de niveau de f 

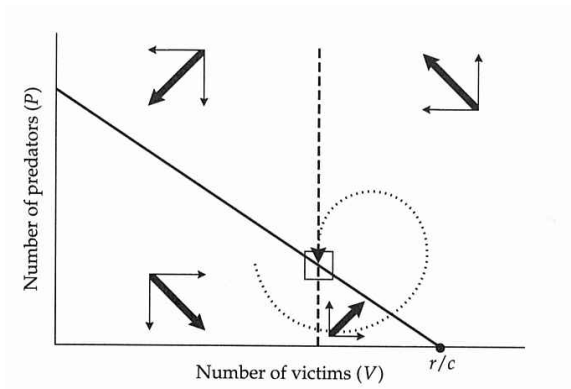
Plan d'Attaill

- 5 Pour aller plus loin
 - Le module proie prdateur de Lotka et Volterra, avec croissance exponentielle des proies
 - La notion d'intgrale premi re
 - Suggestion de lecture

Suggestion de lecture



Suggestion de lecture



Suggestion de lecture

